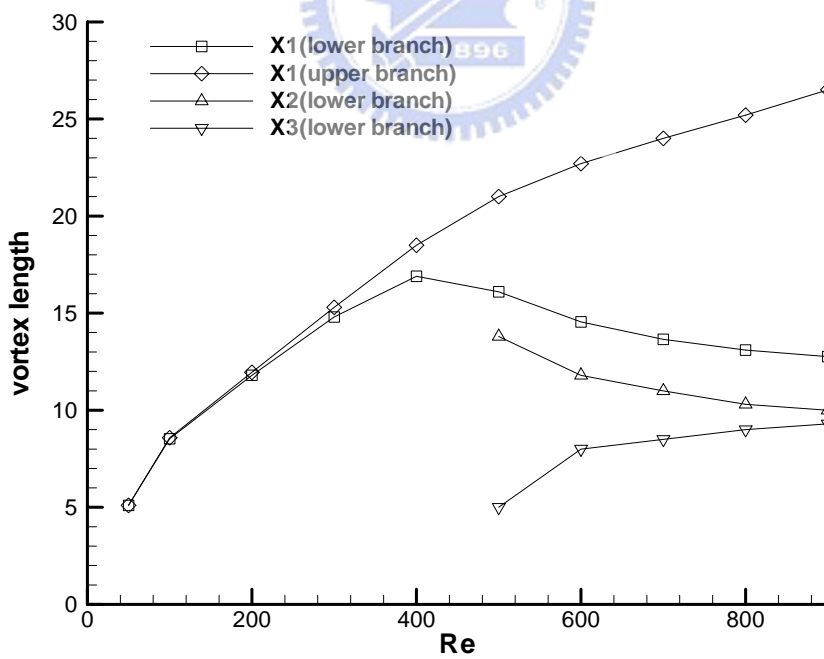
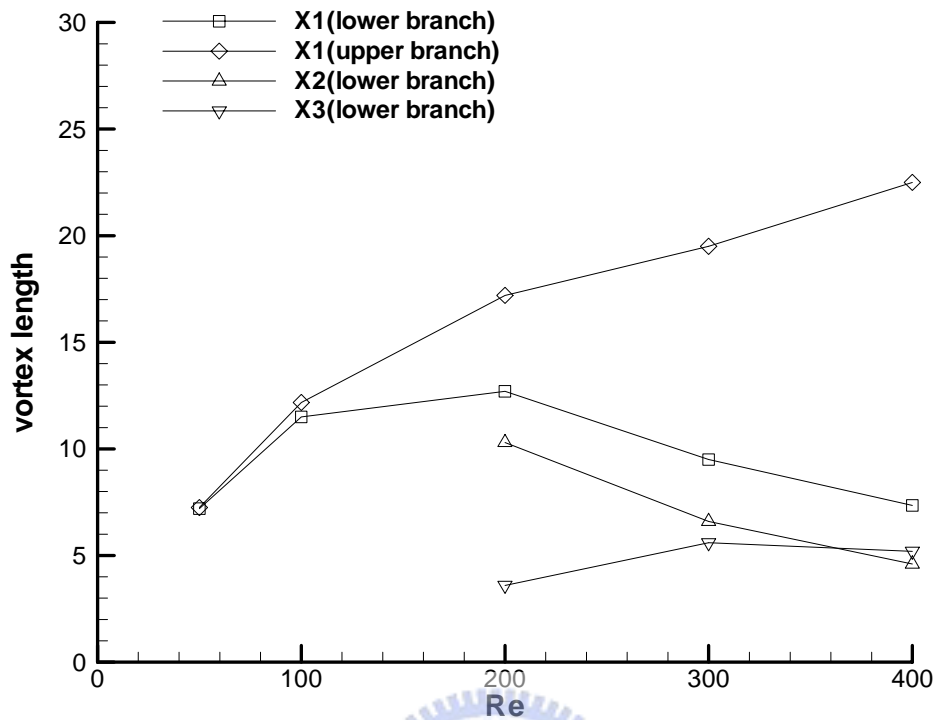


(a) Y-branch、 $\Delta P=0.02$ 、 $d_{out}=2$ 。



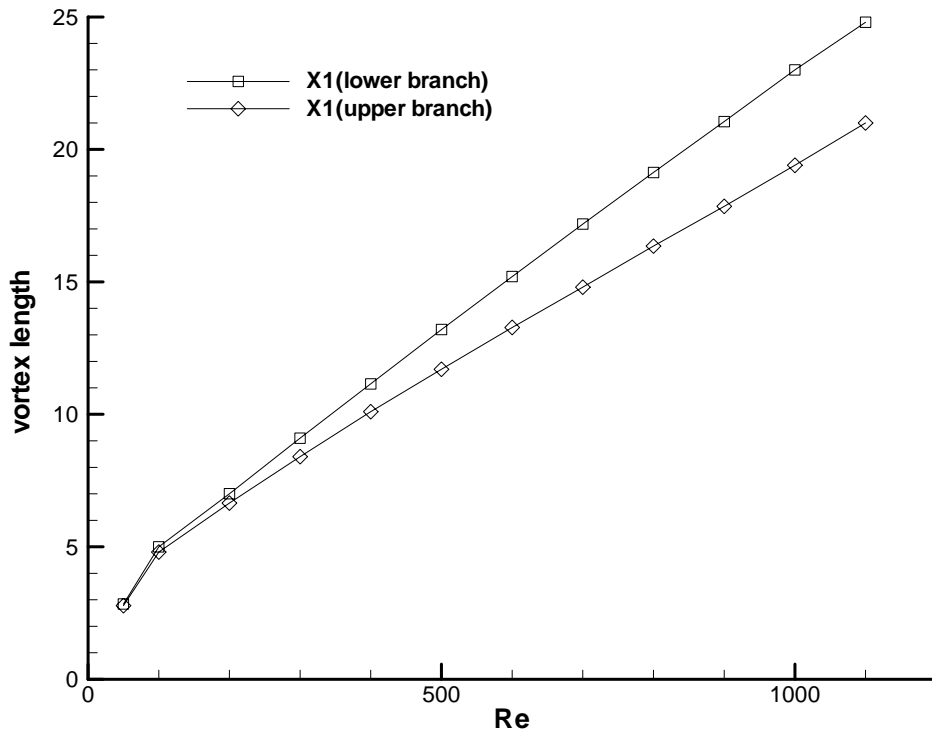
(b) Y-branch、 $\Delta P=0.02$ 、 $d_{out}=2.5$ 。

圖 6.7 當  $\Delta P=0.02$  時，Y 型分歧管中，其上下流道中的所有迴流長度及起始點位置，隨著雷諾數變化的情形。

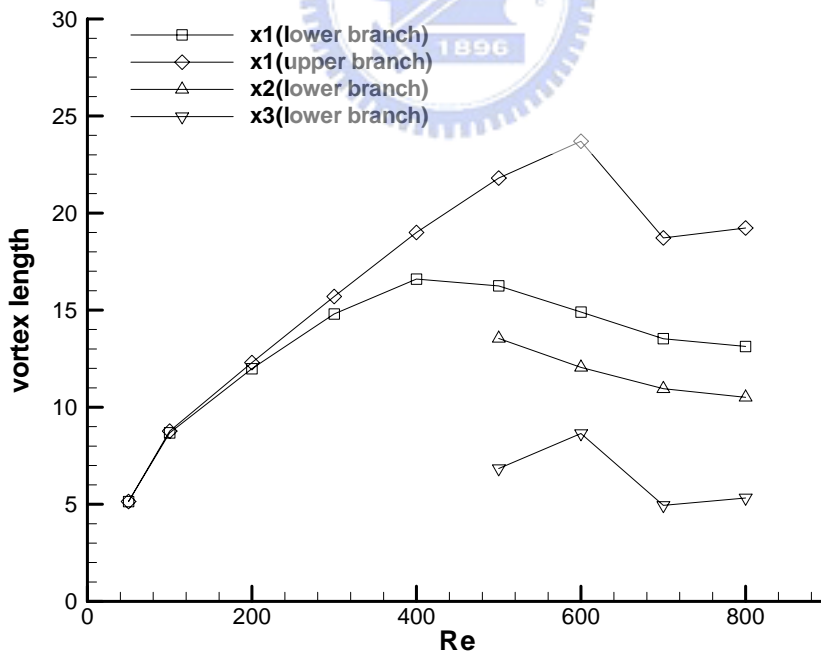


(c) Y-branch、 $\Delta P=0.02$ 、 $d_{out}=3$ 。

圖 6.7 當  $\Delta P=0.02$  時，Y 型分歧管中，其上下流道中的所有迴流長度及起始點位置，隨著雷諾數變化的情形。

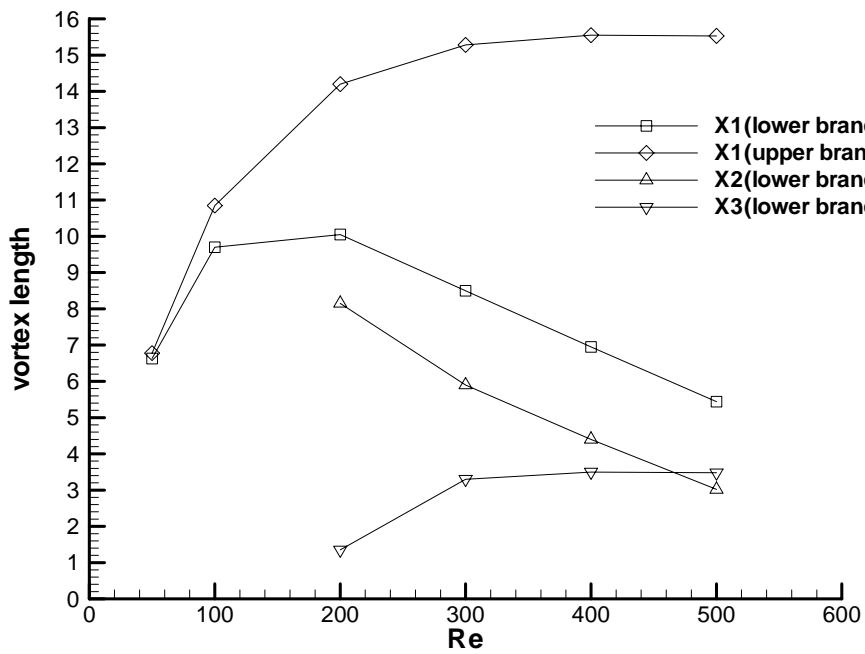


(a) Y-branch、 $\Delta P=0.05$ 、 $d_{out}=2$ 。



(b) Y-branch、 $\Delta P=0.05$ 、 $d_{out}=2.5$ 。

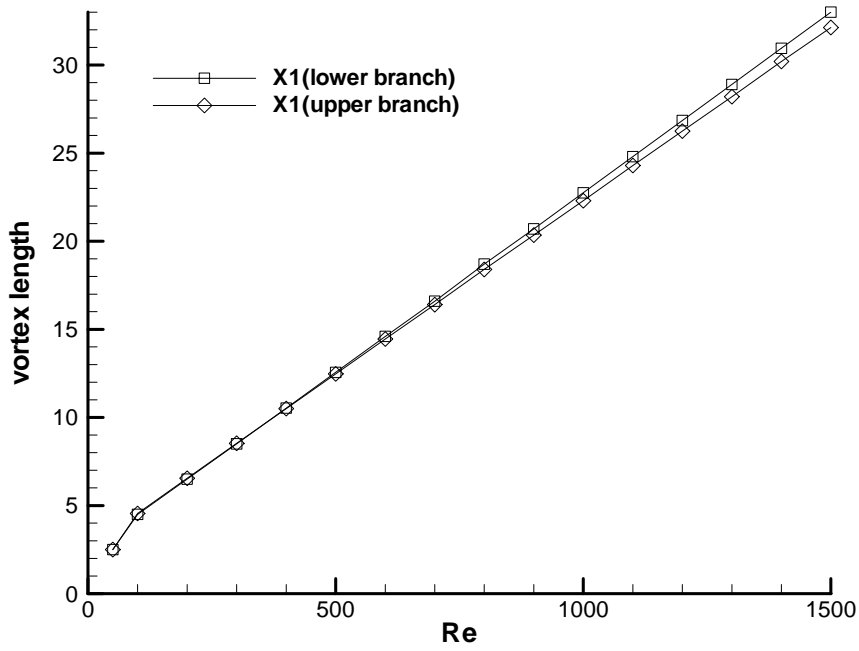
圖 6.8 當  $\Delta P=0.05$  時，Y 型分歧管中，其上下流道中的所有迴流長度及起始點位置，隨著雷諾數變化的情形。



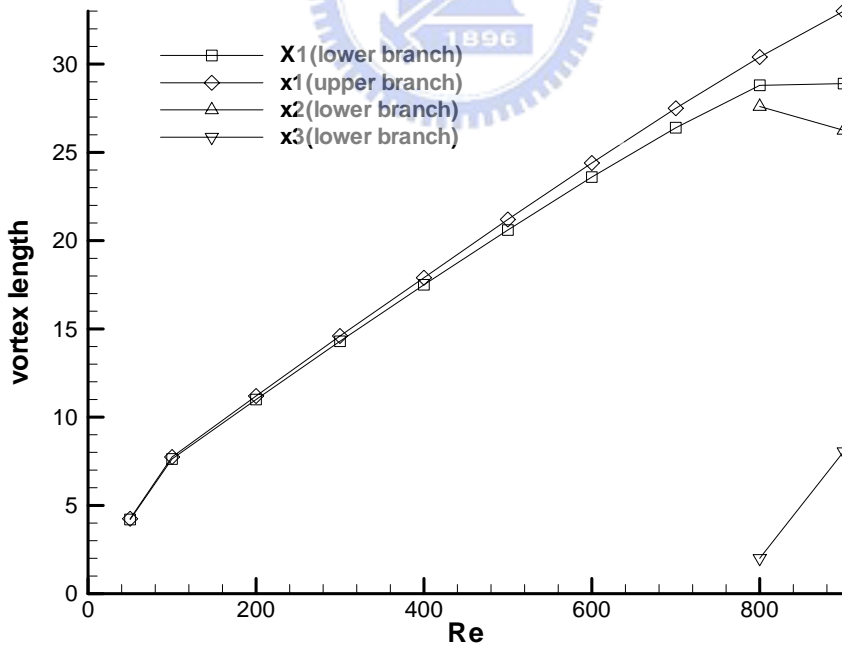
(c) Y-branch,  $\Delta P=0.05$ ,  $d_{out}=3$ .



圖 6.8 當  $\Delta P=0.05$  時，Y 型分歧管中，其上下流道中的所有迴流長度及起始點位置，隨著雷諾數變化的情形。

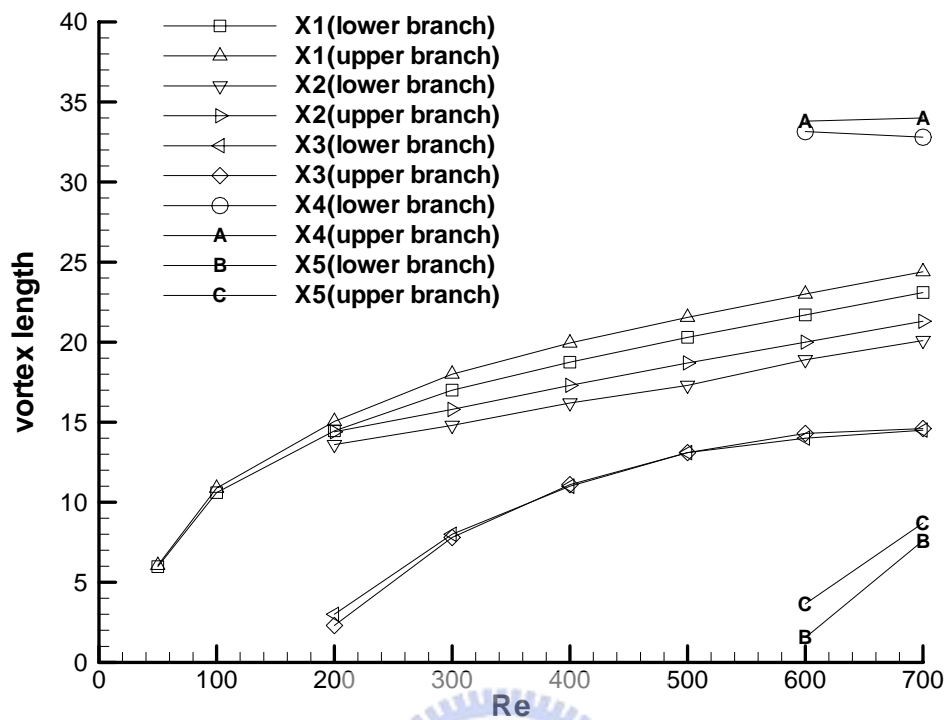


(a) T-branch、 $\Delta P=0.02$ 、 $d_{out}=2$ 。



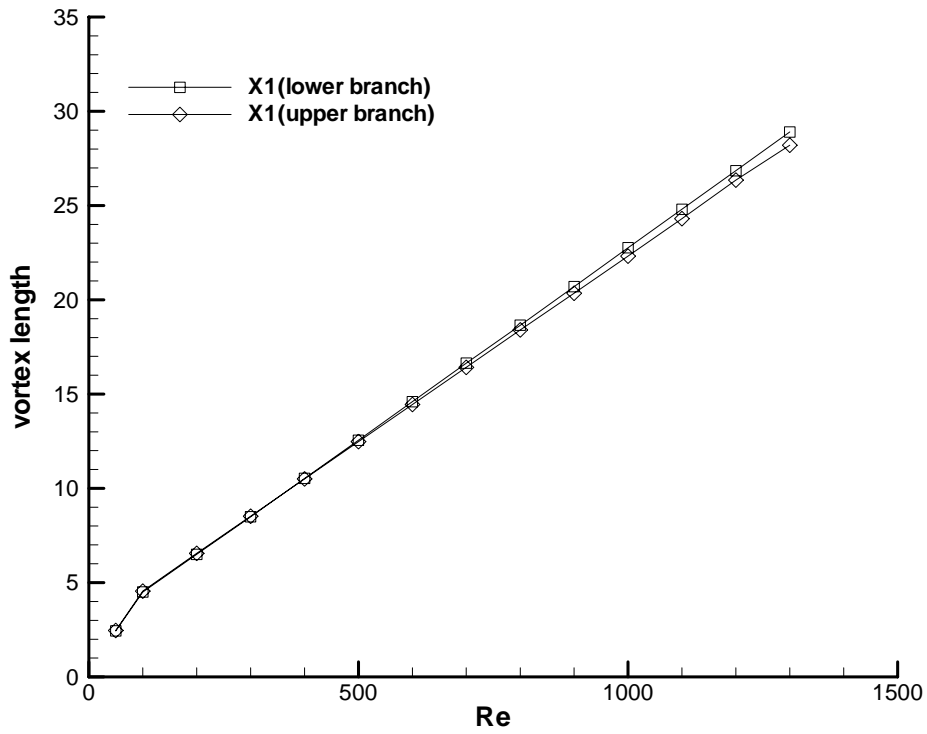
(b) T-branch、 $\Delta P=0.02$ 、 $d_{out}=2.5$ 。

圖 6.9 當  $\Delta P=0.02$  時，T 型分歧管中，其上下流道中的所有迴流長度及起始點位置，隨著雷諾數變化的情形。

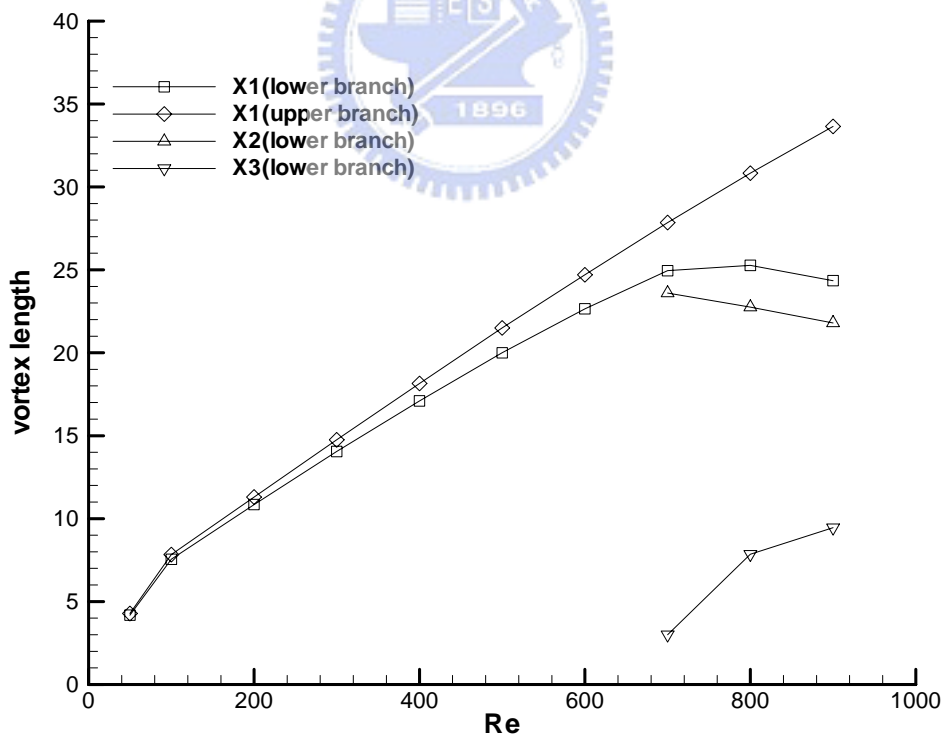


(c) T-branch、 $\Delta P=0.02$ 、 $d_{out}=3$ 。

圖 6.9 當  $\Delta P=0.02$  時，T 型分歧管中，其上下流道中的所有迴流長度及起始點位置，隨著雷諾數變化的情形。

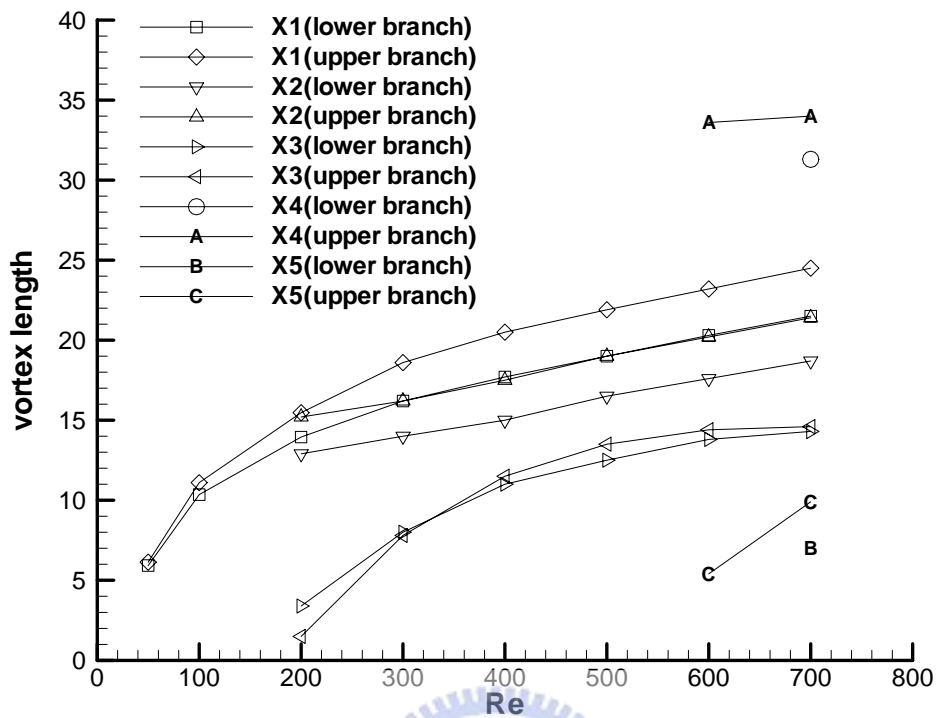


(a) T-branch、 $\Delta P=0.05$ 、 $d_{out}=2$ 。



(b) T-branch、 $\Delta P=0.05$ 、 $d_{out}=2.5$ 。

圖 6.10 當  $\Delta P=0.05$  時，T 型分歧管中，其上下流道中的所有迴流長度及起始點位置，隨著雷諾數變化的情形。



(c) T-branch、 $\Delta P=0.05$ 、 $d_{out}=3$ 。

圖 6.10 當  $\Delta P=0.05$  時，T 型分歧管中，其上下流道中的所有迴流長度及起始點位置，隨著雷諾數變化的情形。